

# Л и т е р а т у р а

- [1] Andreiev S.U., Mishin V.I., Letokhov V.S. - Optics comm., 1986, v. 57, p. 317.
- [2] Алхазов Г.Д., Берлович Э.Е., Пантелеев В.Н. - Авторское свидетельство № 131 8112, пр. от 16.01.1985.
- [3] Алхазов Г.Д., Берлович Э.Е., Пантелеев В.Н. - Препринт ЛИЯФ № 1365, Л., 1988.

Ленинградский институт  
ядерной физики им. Б.П. Константинова  
АН СССР

Письма в ЖТФ, том 14, вып. 12

26 июня 1988 г.

## ПОВЫШЕНИЕ ЭНЕРГИИ ТРУБЧАТОГО РЭП МИКРОСЕКУНДНОЙ ДЛИТЕЛЬНОСТИ, ФОРМИРУЕМОГО С ПОМОЩЬЮ МНОГООСТРИЙНОГО ВЗРЫВОЭМИССИОННОГО КАТОДА

В.Г. Ковалев, О.П. Печерский,  
Ю.М. Савельев, К.И. Ткаченко,  
В.И. Энгелько

Исследования по генерации трубчатых релятивистских электронных пучков (РЭП) в диодах магнетронного типа с многоострийным взрывоэмиссионными катодами (МВК) [1-3] показали, что такие диоды позволяют получать РЭП большой длительности и с более стабильными параметрами, чем диоды с магнитной изоляцией с кромочными катодами. В диоде с МВК была достигнута длительность импульса  $\sim 160$  мкс [1]. При этом скорость расширения внешней границы пучка  $\sim 10^4$  см/с, что обусловливает слабое изменение геометрии пучка в течение большей части импульса. Недостатком диодов магнетронного типа с МВК является то, что при ускоряющем напряжении выше  $\sim 250$  кВ уменьшается длительность РЭП и ухудшается стабильность работы диода. Причиной такого ухудшения является возникновение паразитной эмиссии со вспомогательных элементов катодного узла. В данной работе описывается электроннооптическая система, позволяющая существенно увеличить энергию электронов в пучке, формируемом в диоде с МВК, без ухудшения его стабильности.

Исследования проводились на модернизированном ускорителе "ИНУС" [4]. Схема экспериментальной установки приведена на рис. 1. Она включает в себя две ускорительные трубы. В первой ускорительной трубке З (УТ<sub>1</sub>), как и в [1-3], размещен МВК. В ней формируется электронный пучок, ток которого определяется ге-

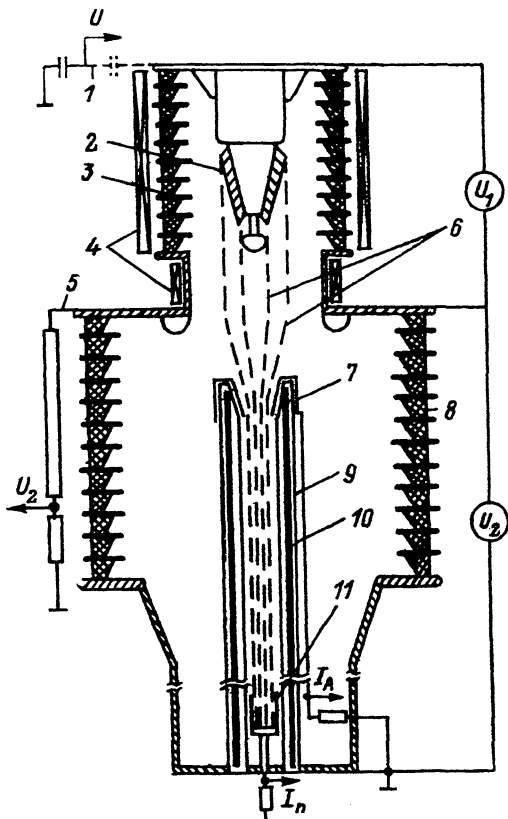


Рис. 1. Схема экспериментальной установки. 1 - емкостной делитель напряжения, 2 - многоострийный взрывоэмиссионный катод, 3 - первая ускорительная трубка ( $УТ_1$ ), 4 - система соленоидов катодной области, 5 - резистивный делитель напряжения, 6 - магнитные силовые линии, 7 - приемная часть датчика утечек на анод, 8 - вторая ускорительная трубка, 9 - труба дрейфа, 10 - транспортирующий соленоид, 11 - коллектор.

метрией диода, напряжением, приложенным к  $УТ_1$ , и углом между магнитными силовыми линиями и эмиттирующей поверхностью катода [1-3]. На  $УТ_1$  подается напряжение, при котором диод работает стablyно. В объеме второй ускорительной трубы 8 ( $УТ_2$ ) расположен канал транспортировки 9. Его торец и верхний фланец  $УТ_2$  образуют дополнительный ускоряющий промежуток, в котором электроны пучка доускоряются напряжением приложенным к  $УТ_2$ . Магнитное поле, необходимое для формирования и транспортировки РЭП, создается системой соленоидов 4, 10. Максимальное значение магнитной индукции в области  $УТ_1$  - 1.2 кГс, в канале транспор-

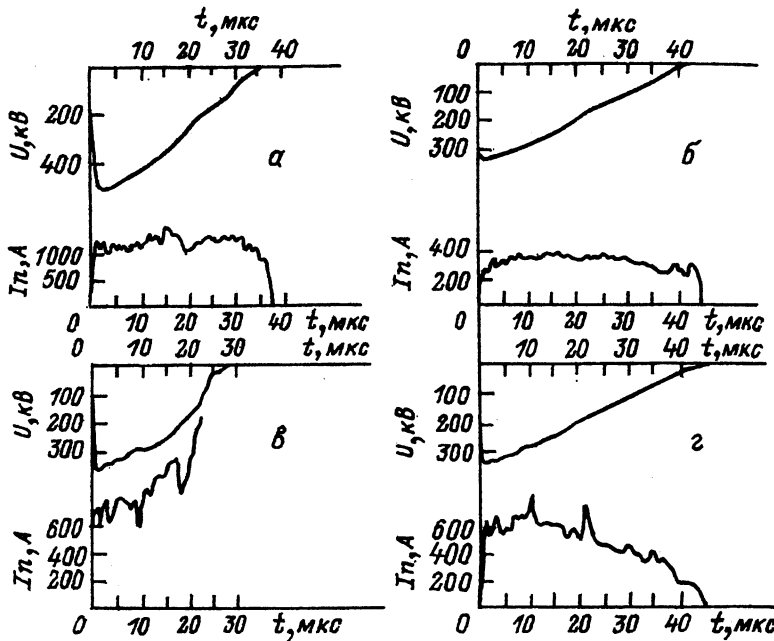


Рис. 2. Осциллограммы напряжения  $U$  и тока пучка  $I_{\Pi}$ . Пробочное отношение  $k = B_d/B_K = 24$ . а, в, г -  $B_K = 0.9$  кГс; б -  $B_K = 0.3$  кГс; б, в -  $l = 45$ ; а, г -  $l = 29$  см.

тировки - 22 кГс. Источником импульсов высокого напряжения служил ГИН ускорителя „ИНУС“ [4]. ГИН и ускорительные трубы размещались в баке, заполненном азотом до давления 6 атм.

МВК, используемый в данных экспериментах, в целом аналогичен применявшемуся ранее [2]. Эмиттирующая поверхность в виде усеченного конуса образована из 600 острий, представляющих собой пучки графитовых волокон. Острия укреплены на резисторах, предназначенные для улучшения однородности возбуждения эмиссии и стабилизации эмиссионной границы катодной плазмы [5]. Угол раствора конуса  $2\alpha_K = 28^\circ$ , большой диаметр эмиттирующей поверхности 23 см, малый - 8 см, высота конуса - 30 см. В экспериментах измерялось суммарное напряжение  $U$  (емкостным делителем дополнительное ускоряющее напряжение  $U_2$  на УТ<sub>2</sub> (резистивным делителем), ток пучка  $I_{\Pi}$  и ток утечек на торец канала транспортировки  $I_a$ . Вакуум в системе поддерживался на уровне  $(3-7) \times 10^{-5}$  Торр.

В результате проведенных с описанной электроннооптической системой экспериментов удалось в два раза повысить энергию электронов трубчатого пучка, формируемого с помощью МВК. Исследование катода с большим, чем в [1], углом раствора конуса позволило

также увеличить примерно в два раза и ток РЭП. В оптимальном режиме получены следующие параметры РЭП: энергия электронов  $\sim 500$  кэВ, ток  $\sim 1$  кА, длительность импульса по основанию  $\sim 40$  мкс (рис. 2,а). Максимальное значение суммарного ускоряющего напряжения ограничивалось электрической прочностью высоковольтной структуры вне вакуумного объема.

Характеристики РЭП зависят от величины и распределения магнитного поля, распределения напряжения между ускорительными трубками, положения коллектора относительно входа в канал транспортировки.

На величину тока пучка  $I_1$ , в начале импульса наиболее существенное влияние оказывает величина магнитной индукции в области формирования пучка  $B_k$ . При увеличении  $B_k$  от 0.3 до 1.2 кГс и неизменном пробочном отношении  $B_d/B_k \sim 24$  ( $B_d$  - магнитная индукция в канале транспортировки) ток пучка возрастает в 2-4 раза в зависимости от соотношения напряжений, приложенных к ускорительным трубкам. Одновременно с увеличением  $I_1$  длительность импульса падает из-за развития пробоя на коллекторе (рис. 2,б,в). Год пучка зависит также от соотношения  $\vartheta = U_2/U_1$ , где  $U_2$  и  $U_1$  - напряжения, приложенные к УТ<sub>2</sub> и УТ<sub>1</sub> соответственно. При  $\vartheta = 0-1$  меньше рассчитанного по оценочным формулам, приведенным в [1-3], при  $\vartheta > 1$  - он заметно превышает расчетные значения.

На длительность РЭП ( $\tau_u$ ) существенно влияет положение коллектора относительно входа в канал транспортировки. При расстоянии от торца канала до приемной части коллектора  $z = 20-40$  см  $\tau_u \approx 40$  мкс, что соответствует времени полного разряда ГИН без пробоя межэлектродных промежутков (рис. 2,г). При увеличении  $z$  длительность РЭП быстро падает (рис. 2,в) и достигает  $\sim 10$  мкс при  $z > 60$  см. При дальнейшем увеличении  $z$  это значение  $\tau_u$  сохраняется.

Зависимости параметров РЭП от распределения магнитного поля и положения коллектора отличается от тех, которые наблюдались в диодной электроннооптической системе [1-3]. Возможно, это, а также зависимость тока РЭП от напряжения на УТ<sub>2</sub>, связано с отражением части электронов пучка от магнитной пробки, находящейся вблизи входа в канал дрейфа.

Таким образом, приведенные экспериментальные данные свидетельствуют о том, что применение электроннооптической системы, состоящей из двух ускорительных трубок, в одной из которых осуществляется формирование РЭП с помощью МВК при оптимальном для получения больших  $\tau_u$  напряжений, а в другой - его доускорение, позволяет существенно ( $\sim$  в 2 раза) повысить (по сравнению с диодной системой) энергию электронов пучка без снижения его длительности и ухудшения стабильности.

# Л и т е р а т у р а

- [1] Василевский М.А., Никонов А.Г., Ройф И.М. и др. - Письма в ЖТФ, 1983, т. 9, № 1, с. 348-350.
- [2] Гусев О.А., Ковалев В.Г., Марков В.Б. и др. - Атомная энергия, 1985, т. 58, № 5, с. 348-350.
- [3] Никонов А.Г., Ройфе И.М., Савельев Ю.М., Энгелько В.И. - ЖТФ, 1987, т. 57, № 1, с. 86-92.
- [4] Ковалев В.Г., Марков В.Б., Печерский О.П. и др. - Препринт НИИЭФА: П-СИУ-0670, 1984.
- [5] Василевский М.А., Ройфе И.М., Энгелько В.И. В кн.: Релятивистская высокочастотная электроника, Горький: ИПФ АН СССР, 1983, вып. 3, с. 184.

Поступило в Редакцию  
26 января 1988 г.

Письма в ЖТФ, том 14, вып. 12

26 июня 1988 г.

## ПЛАЗМЕННЫЙ КАНАЛ, ФОРМИРУЕМЫЙ РЭП В АРГОНЕ

Ю.Ф. Бондарь, А.А. Гоманько,  
А.А. Королев, В.Е. Кульбеда,  
Г.П. Мхеидзе, А.А. Савин

Цель данной работы - формирование и экспериментальное исследование плазменного канала, образующегося при распространении РЭП в аргоне при давлении  $P_0 = 1 \div 750$  тор. Аргон, как основной компонент рабочей смеси эксимерного лазера, представляет собой интересный объект изучения. Ранее в экспериментах [1, 2] были отмечены высокие концентрации пучковой плазмы в аргоне по сравнению с другими газами и с теоретическими оценками [3, 4]. В отличие от указанных работ, где были получены интегральные значения плотности плазмы, в нашу задачу входило изучение динамики пространственного распределения плазменного тока и электронной концентрации пучковой плазмы.

Эксперименты по исследованию взаимодействия РЭП с аргоном проводились на установке "Терек-1Р" [5]. Пучок электронов ( $E_b = 1 \div 1.3$  МэВ,  $I_b = 6 \div 8$  кА,  $t_b = 40 \div 60$  нс) инжектировался в дрейфовую камеру, заполненную аргоном ( $P_0 = 1 \div 750$  тор) [6]. Оптические измерения проводились с помощью интерферометра Майкельсона в режиме щелевой развертки [5]. Размер регистрируемого поля составлял 150 мм по вертикали. Временное разрешение  $\approx 30$  нс. Чувствительность интерферометра для электронов  $N_{min} \approx 3 \cdot 10^{16} / L$  см<sup>-3</sup> и для молекул  $N_{min} \approx 3 \cdot 10^{17} / L$  см<sup>-3</sup>.